

## MODEVAIIA

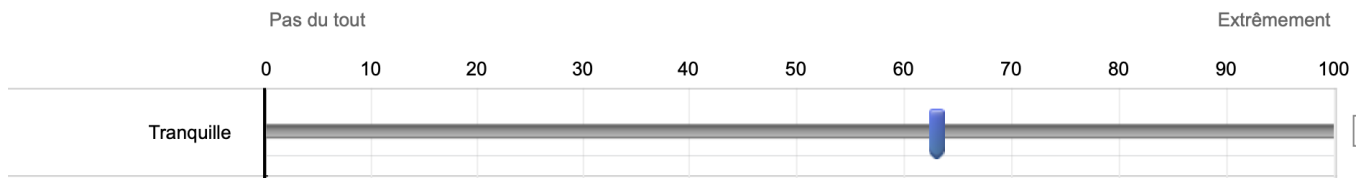
# The COVID-19 wave?

## Titre complet

The COVID-19 wave? A longitudinal study of affective experience and coping strategies during the first lockdown in France Galharret J.-M., Sapin A., Bret A., Boudoukha A.-H., Navarro O., Fleury-Bahi G., & Congard A. (Nantes Université)

## Les données

Les données correspondent aux affects positifs à faible activation (API) mesurées 12 fois elles sont disponibles [ici](#). Les participants déplacent le curseur sur  $[0,100]$  pour donner une évaluation subjective de leur niveau de tranquillité et de .



Voici un extrait des réponses obtenues

##	API_t1	API_t2	API_t3	API_t4	API_t5	API_t6	API_t7	API_t8	API_t9	API_t10
## 1	52.5	44.0	42.5	46.5	46.5	47.0	41.0	39.5	43.0	51.5
## 2	18.0	21.5	39.0	24.5	16.0	29.0	26.0	32.0	33.0	45.0
## 3	75.0	70.0	45.0	77.5	74.5	77.0	75.0	36.5	69.0	54.0
## 4	65.0	76.0	89.0	67.0	69.5	73.0	70.0	64.5	65.0	81.0
## 5	49.0	66.0	64.0	63.5	65.5	62.5	68.0	60.0	59.0	67.0
## 6	69.0	87.0	81.0	96.5	83.5	93.0	91.5	79.5	96.5	100.0
##	API_t11	API_t12								
## 1	61.0	60.0								
## 2	69.5	72.5								
## 3	53.5	52.5								
## 4	77.5	84.5								
## 5	69.5	73.5								
## 6	97.0	90.0								

On a  $i = 179$  participants et  $t = 12$  temps de mesure.

## La modélisation : Trajectoire cubique

On veut estimer les trajectoires temporelles pour chaque individu  $i$  :

$$Y_i(t) = b_{0,i} + b_{1,i}t + b_{2,i}t^2 + b_{3,i}t^3 + \varepsilon_i(t)$$

## Problème de colinéarité dans les modèles de trajectoire :

L'estimation par MCO est instable lorsque les variables explicatives sont colinéaires et dans les modèles de trajectoire c'est le cas :

```
t<-1:12
Xt<-cbind(1,t,t^2,t^3)
# VIF de t^3 en fonction de t et de t^2
1/(1-summary(lm(Xt[,4]~Xt[,2]+Xt[,3]))$r.squared)
## [1] 315.2346
```

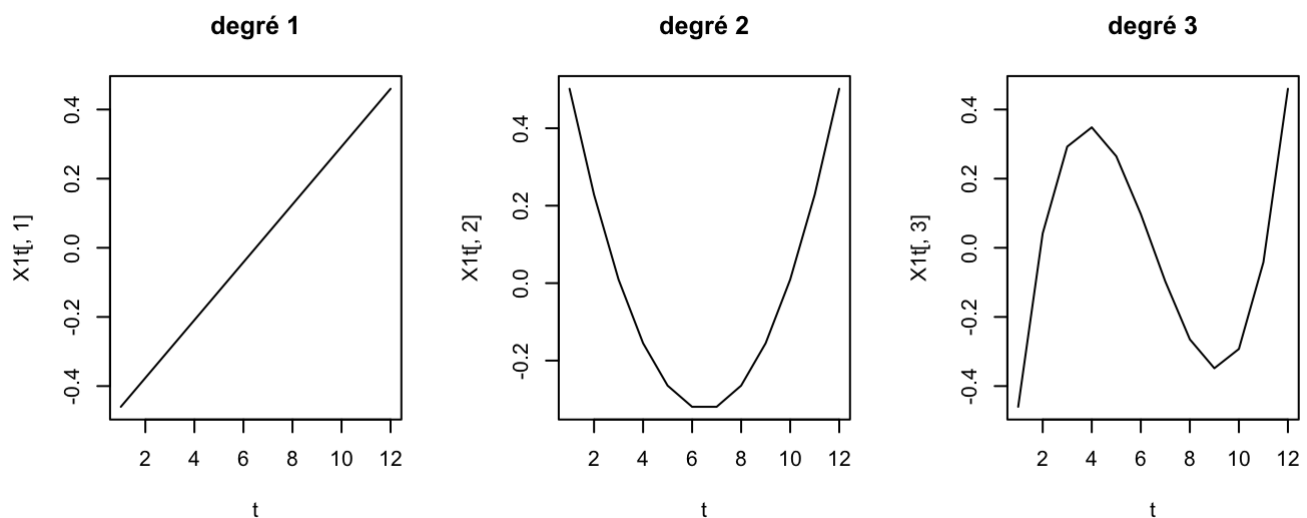
↪ Solution : polynômes orthogonaux

## Polynômes orthogonaux

On veut déterminer des polynômes  $P_k$  de degré  $k$  qui sont orthogonaux (donc non corrélés) pour  $t = \{1, \dots, 12\}$ .

## Sur R

```
X1t<-poly(1:12,3)
par(mfrow=c(1,3))
plot(t,X1t[,1],main="degré 1",type="l")
plot(t,X1t[,2],main="degré 2",type="l")
plot(t,X1t[,3],main="degré 3",type="l")
```



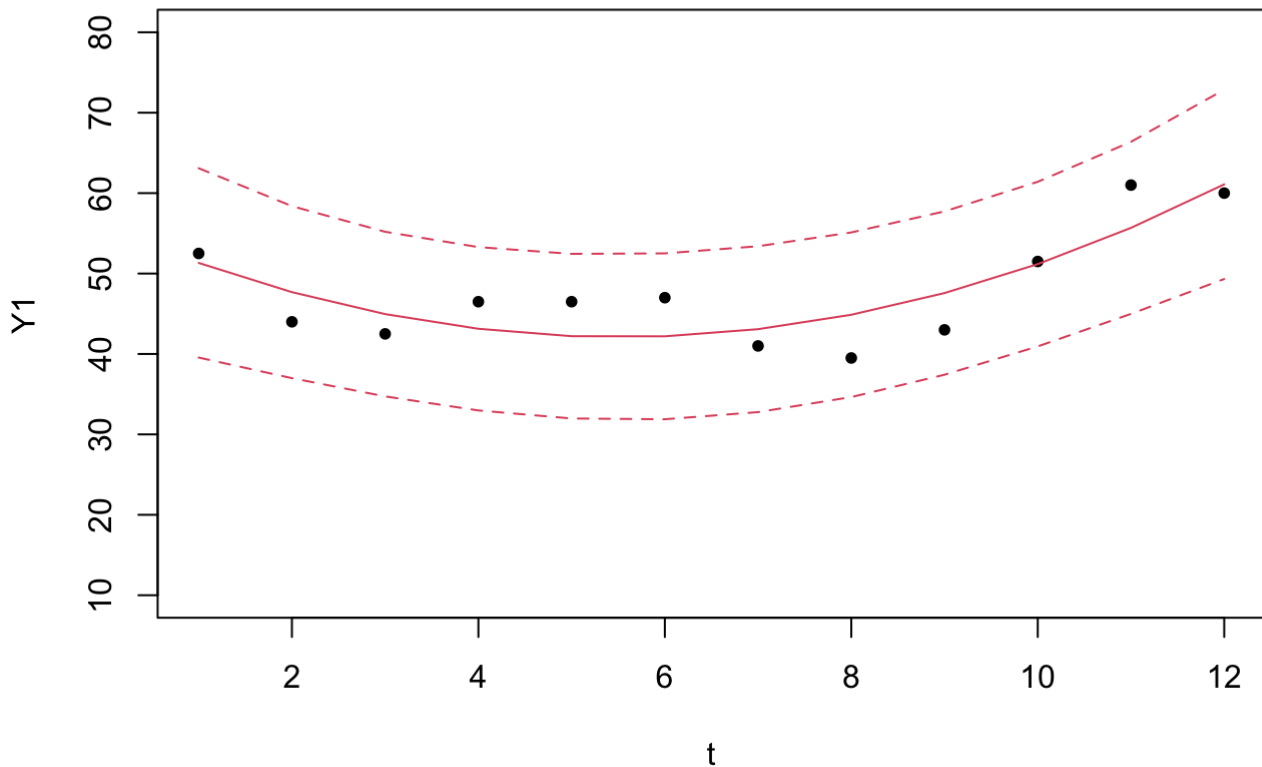
```
X1t<-cbind(1,X1t)
```

## Estimation MCO

On veut estimer  $Y_i(t) = \beta_{0,i} + \beta_{1,i}P_1(t) + \beta_{2,i}P_2(t) + \beta_{3,i}P_3(t) + \varepsilon_i(t)$ .

```
1,])
1]+X1t[,2]+X1t[,3])
interval="prediction")
dict.lm(mod1, interval = "prediction"): predictions on current data refer to _future_ responses
main="Trajectoire pour l'individu 1",ylim=c(10,80))
l=2)
l=2,lty=2)
l=2,lty=2)
```

### Trajectoire pour l'individu 1



## Le modèle bayésien sur Stan

Soit  $\mathbb{X} = [1, P_1(t), \dots, P_k(t)] \in \mathbb{R}^{n \times (k+1)}$  la matrice de design du modèle linéaire on veut estimer  $\beta_i, \mu, \sigma \in \mathbb{R}^{k+1}$  et  $\sigma_g \in \mathbb{R}$  tels que :

1.  $Y_{i,t} = \mathbb{X}\beta_i + \sigma_g \varepsilon_i$  où  $\varepsilon_i \sim \mathcal{N}(0, 1)$
2.  $\beta_i = \mu + \sigma \varepsilon$  où  $\varepsilon \sim \mathcal{N}(0, I_{k+1})$ .

```

model<- '
data{
  int <lower=1> n;
  // Number of time-measurement
  int <lower=1> T;
  // degree of the polynom
  int<lower=1> k;
  // dependant variable
  matrix [n,T] y;
  // design matrix
  matrix [T,k+1] X;
}

parameters {
  matrix[n,k+1] beta;
  vector[k+1] mu;
  vector<lower=0>[k+1] sigma;
  real<lower=0> sig;
}

model {
  for(t in 1:T){
    for (i in 1:n){
      y[i,t]~normal(X[t,]*to_vector(beta[i,]),sig);}
    }
  sig~inv_gamma(.001,.001);
  for(j in 1:(k+1)) beta[,j]~normal(mu[j],sigma[j]);
  mu~normal(0,100);
  sigma~inv_gamma(.001,.001);
}
'

```

Code pour faire tourner le modèle :

```

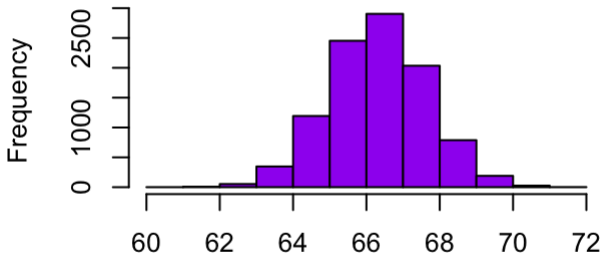
library(rstan)
long_model<- stan_model(model_code=model)
fit <- sampling(long_model,data=list(n=dim(Y)[1],T=12,X=X1t,y=Y,p=3), iter = 10000, chains = 2

```

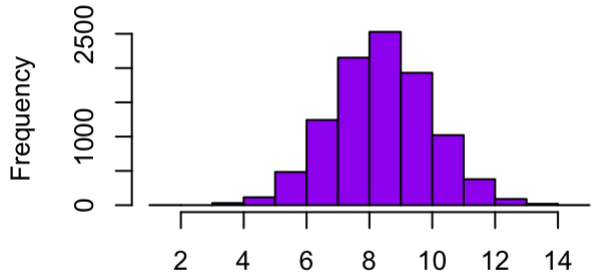
Les résultats sont disponibles dans le fichier [res\\_bay.RData](#)

On peut regarder les sorties :

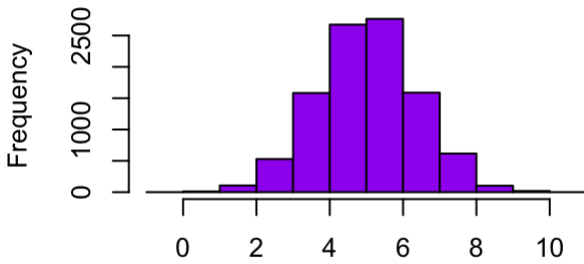
Distribution de  $\mu_1$



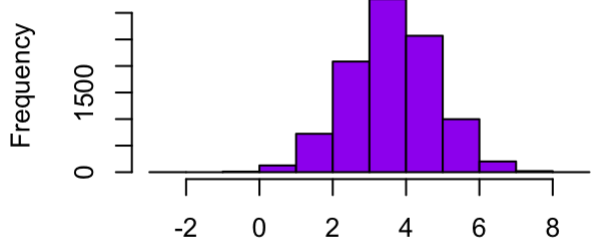
Distribution de  $\mu_2$



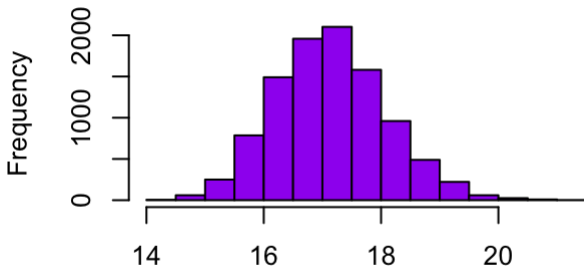
Distribution de  $\mu_3$



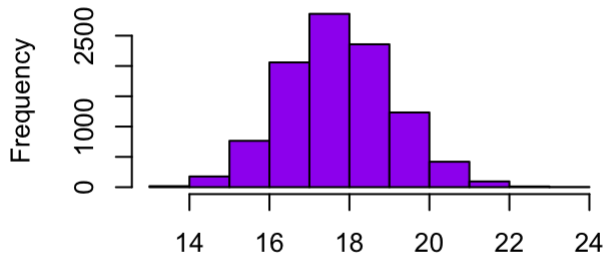
Distribution de  $\mu_4$



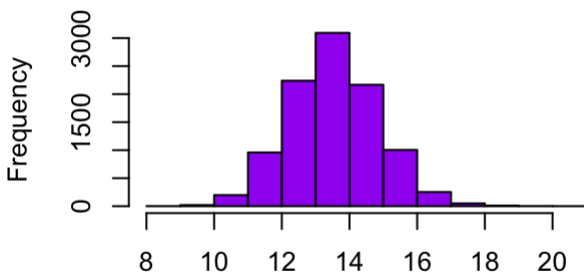
Distribution de  $\sigma_1$



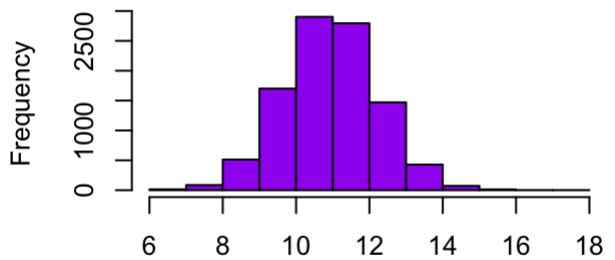
Distribution de  $\sigma_2$



Distribution de  $\sigma_3$



Distribution de  $\sigma_4$



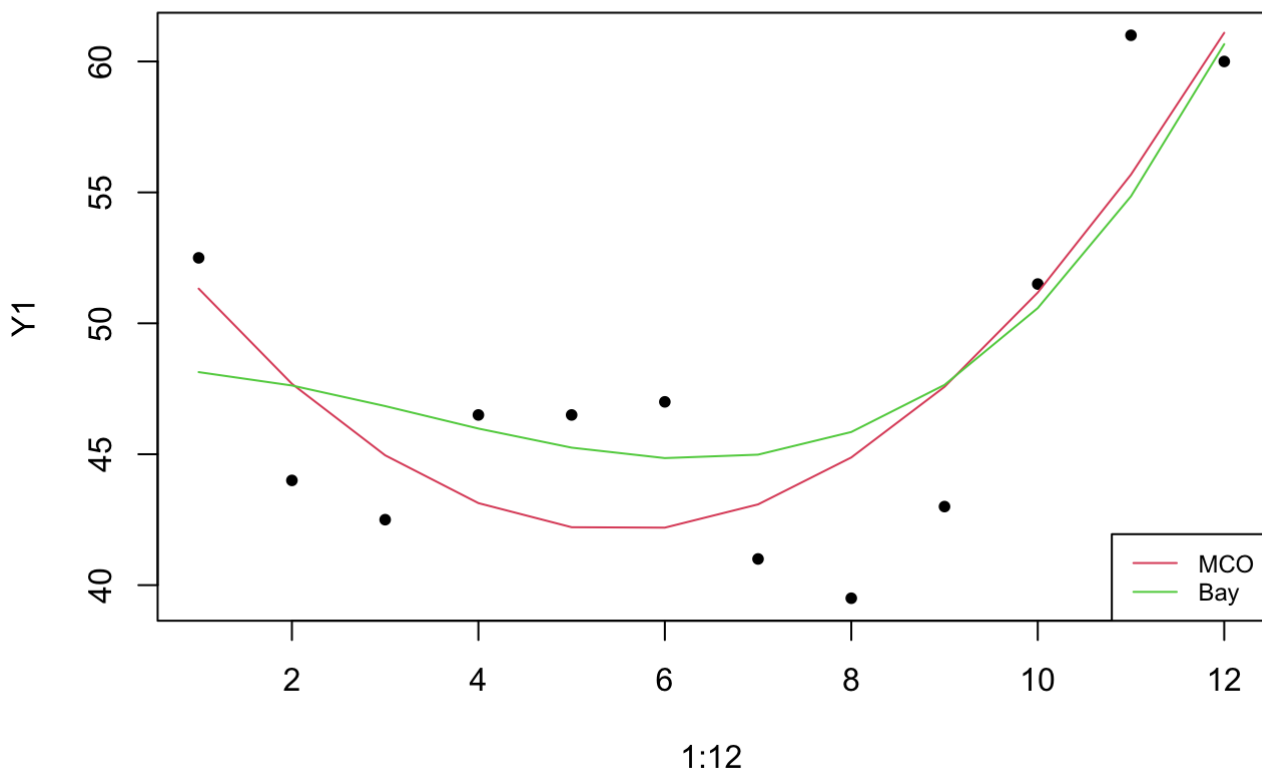
## Comparaison bayésien / MCO :

On peut regarder la différence entre l'estimateur MCO et l'estimateur bayésien pour le premier individu.

```
Ypred<-X1t %*% t(res$beta[1:dim(res$beta)[1],1,])
YpBay<-apply(Ypred,1,mean)
mod1<-lm(Y1~X1t[,1]+X1t[,2]+X1t[,3])
YpMCO<-predict(mod1)

plot(1:12,Y1,pch=20,main="Comparaison des estimateurs pour l'individu 1")
lines(1:12,YpMCO,col=2)
lines(1:12,YpBay,col=3)
legend("bottomright",lty=c(1,1),col=2:3,legend=c("MCO","Bay"),cex=0.75)
```

## Comparaison des estimateurs pour l'individu 1



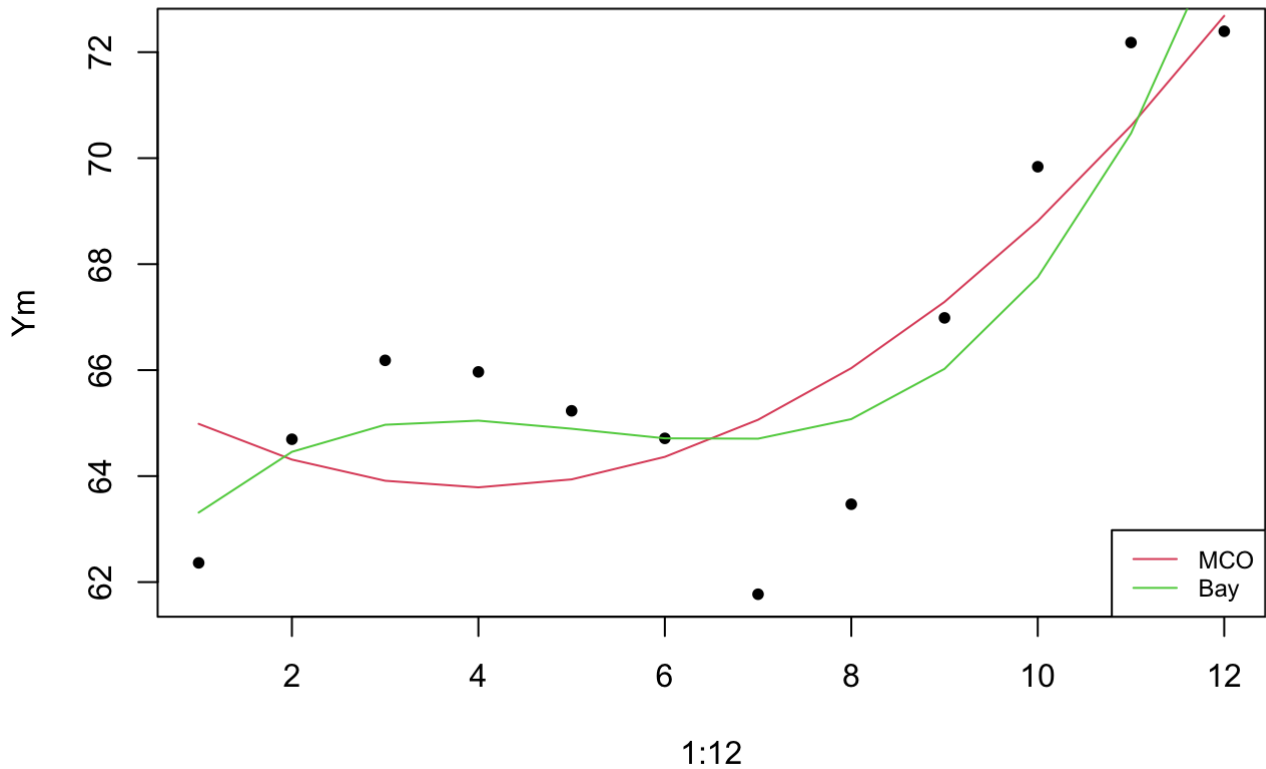
On peut aussi regarder ce que ça donne sur l'individu "moyen".

```
n<-dim(Y)[1]
B<-apply(res$mu,2,mean)
dim(X1t)
## [1] 12 4
dim(res$mu)
## [1] 10000 4
Ypred<-X1t %*% t(res$mu)
YpBay<-apply(Ypred,1,mean)

Ym<-apply(Y,2,mean)
mod1<-lm(Ym~X1t[,1]+X1t[,2]+X1t[,3])
YpMCO<-predict(mod1)
```

```
plot(1:12, Ym, pch=20, main="Comparaison des estimateurs pour l'individu moyen")
lines(1:12, YpMCO, col=2)
lines(1:12, YpBay, col=3)
legend("bottomright", lty=c(1,1), col=2:3, legend=c("MCO", "Bay"), cex=0.75)
```

## Comparaison des estimateurs pour l'individu moyen



## Etude des trajectoires individuelles : [🔗](#)

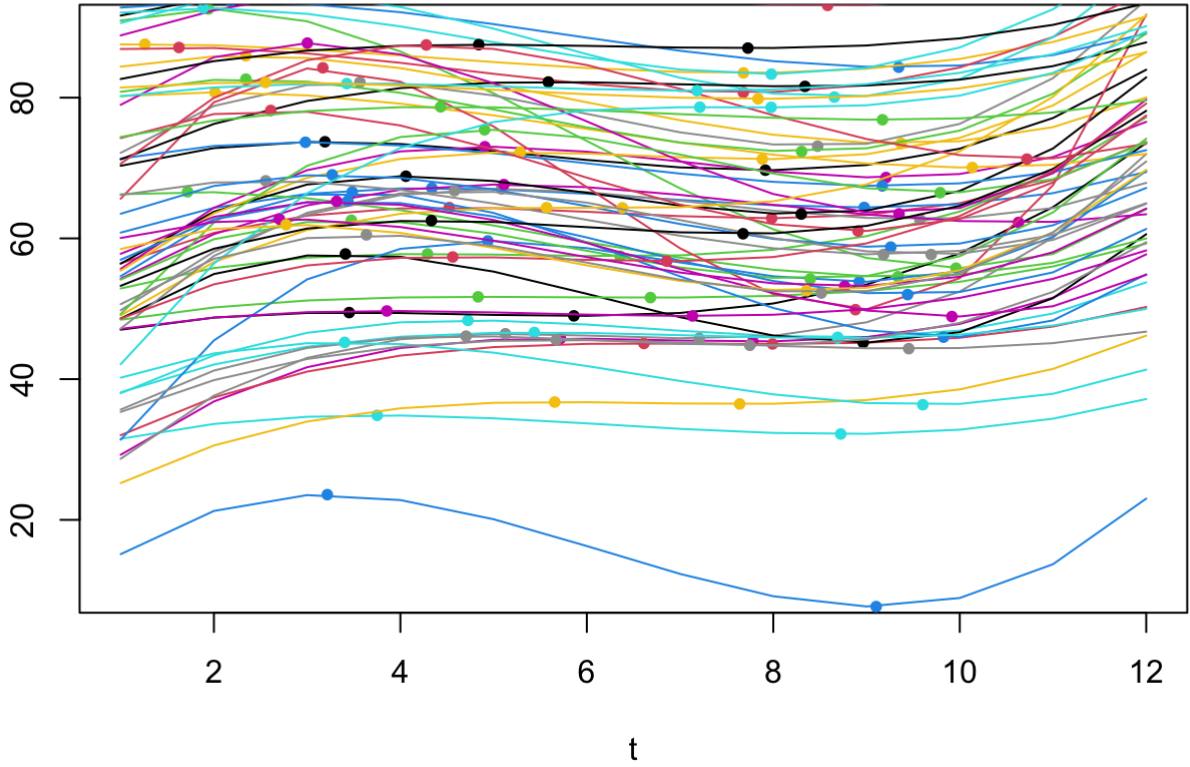
On va considérer deux cas :

- Les individus pour lesquels  $Y$  change de direction sur l'intervalle d'étude (i.e.  $Y$  augmente puis diminue puis réaugmente)
- Les individus pour lesquels  $Y$  ne change pas de direction sur l'intervalle d'étude mais pour lesquels il existe un point d'inflexion dans l'intervalle.

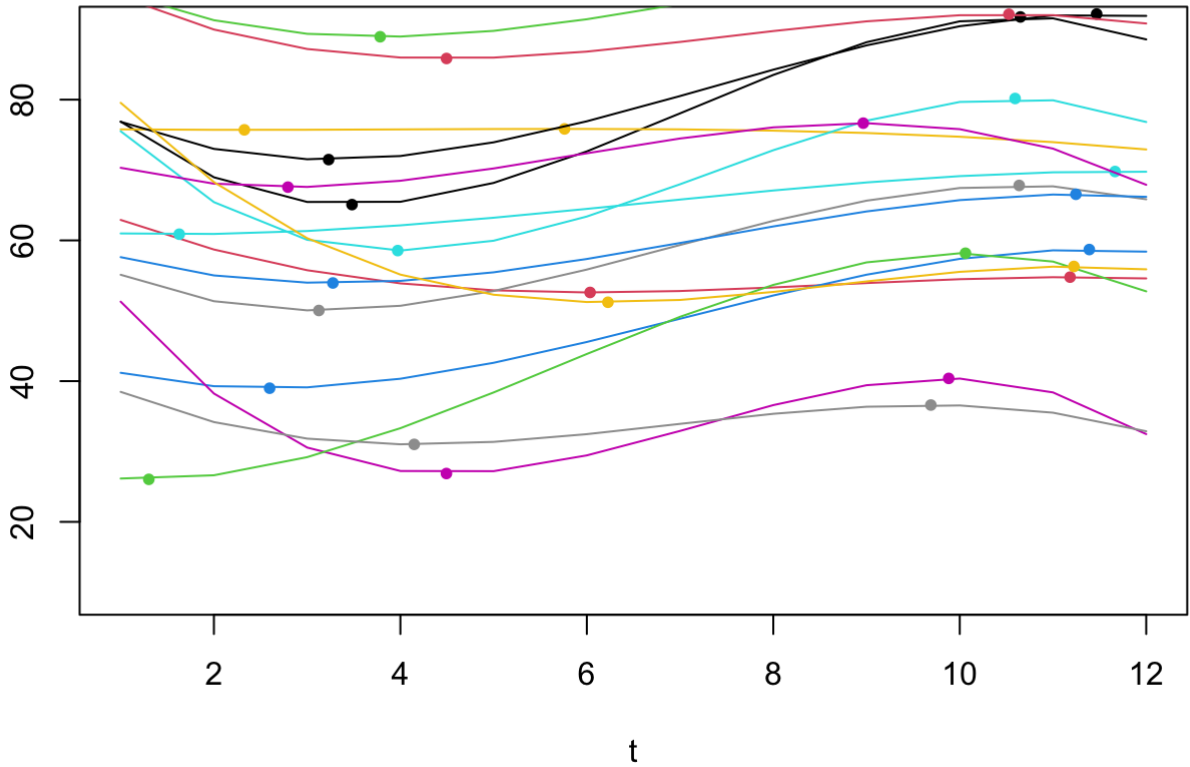
### ***La majorité des Individus connaît deux changements de direction***

80 individus ont deux changements de direction, 64 un seul et 35 ont des affects qui ne font qu'augmenter.

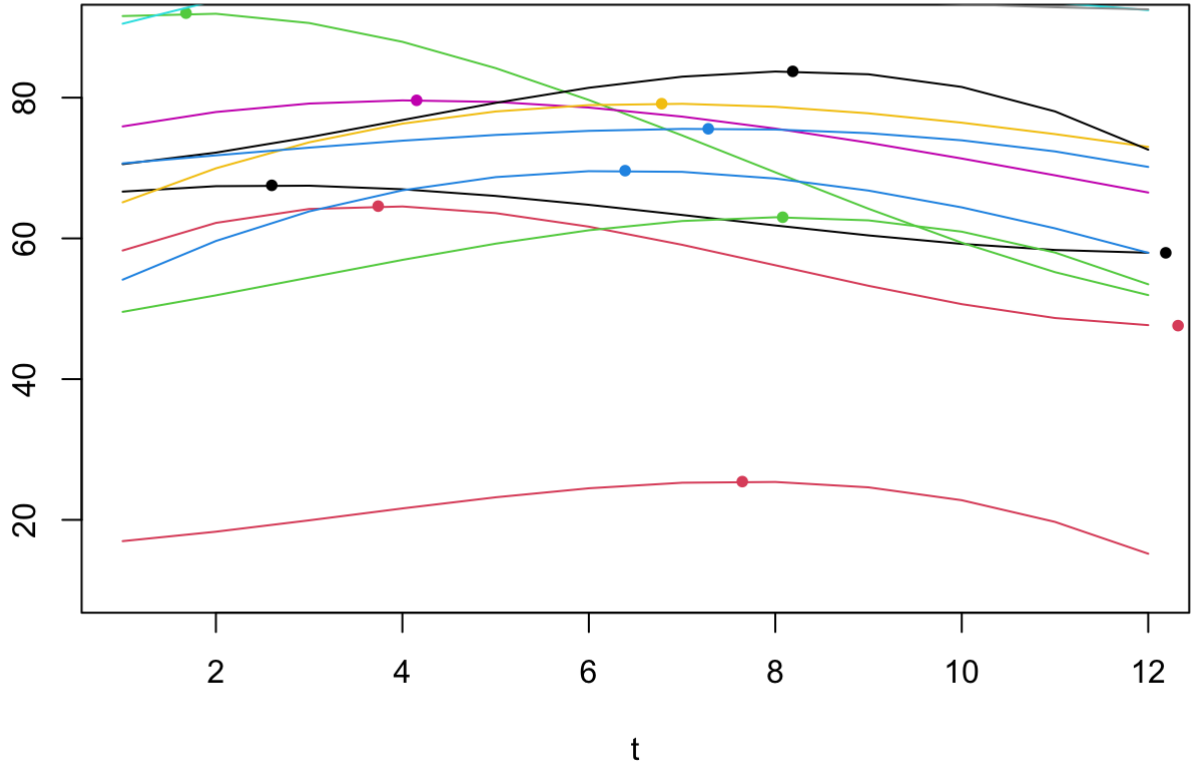
### Y augmente, diminue, augmente n= 64



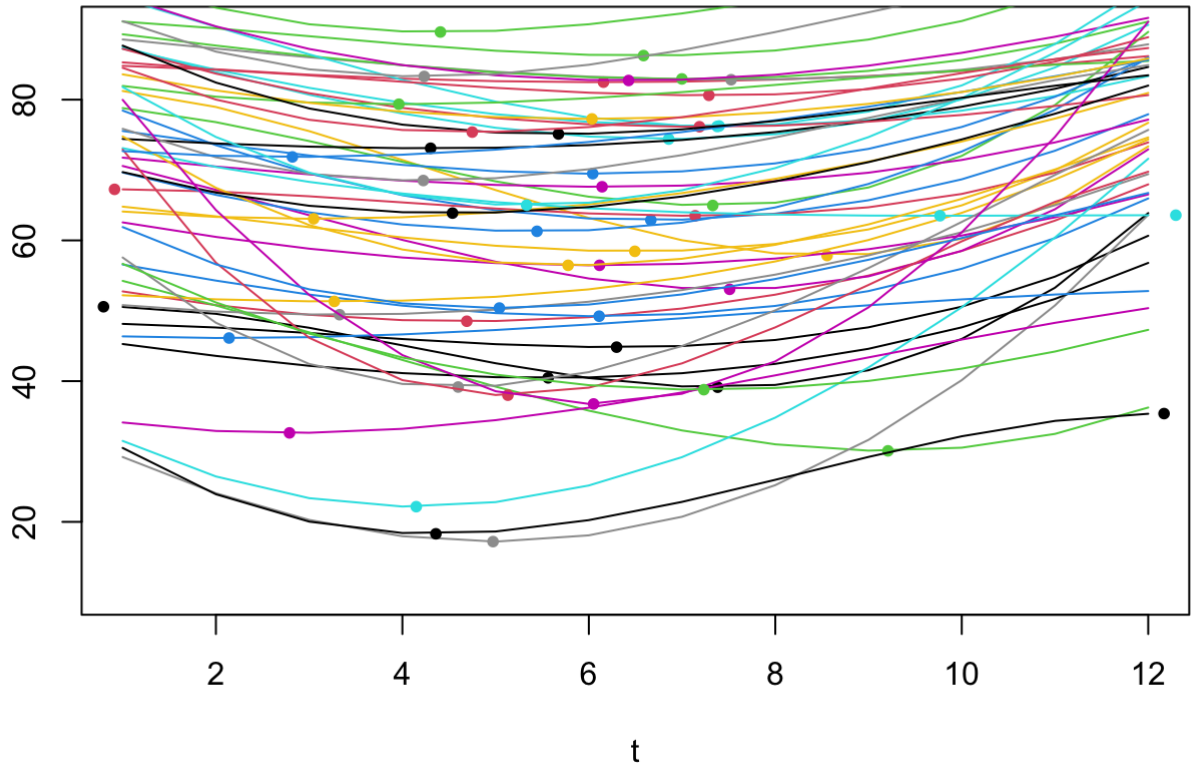
### Y diminue, augmente, diminue n= 16



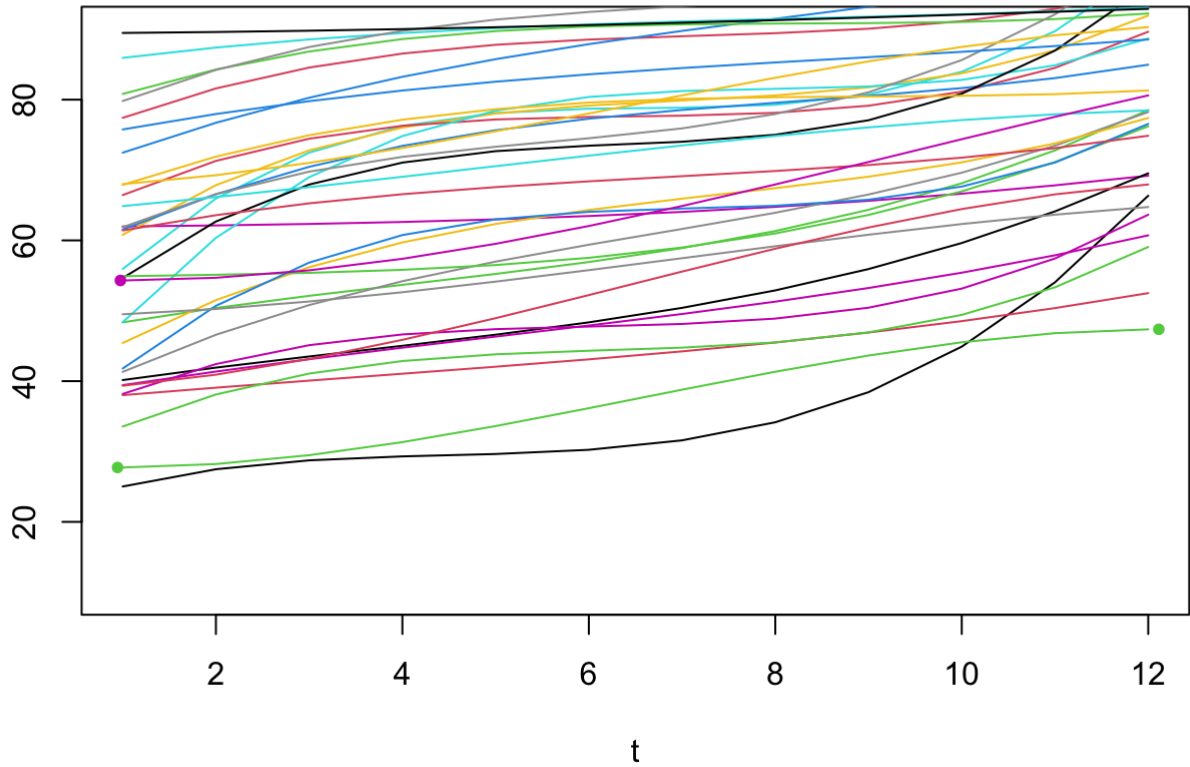
### Y augmente puis diminue n= 12



### Y diminue puis augmente n= 52

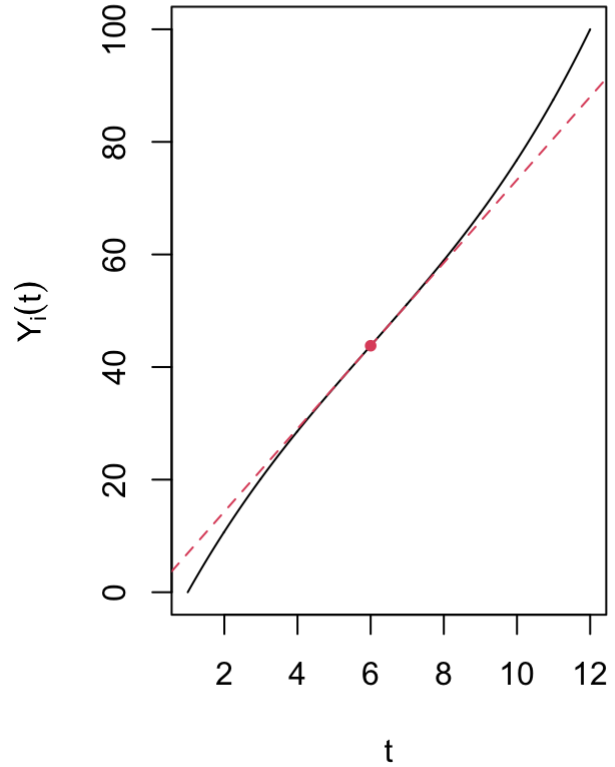
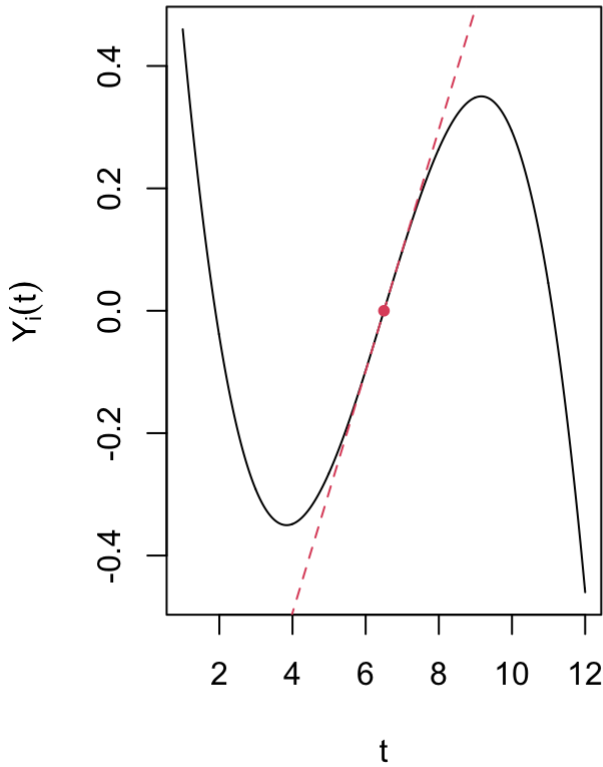


## Y augmente n= 35



### Qu'est-ce qu'un point d'inflexion?

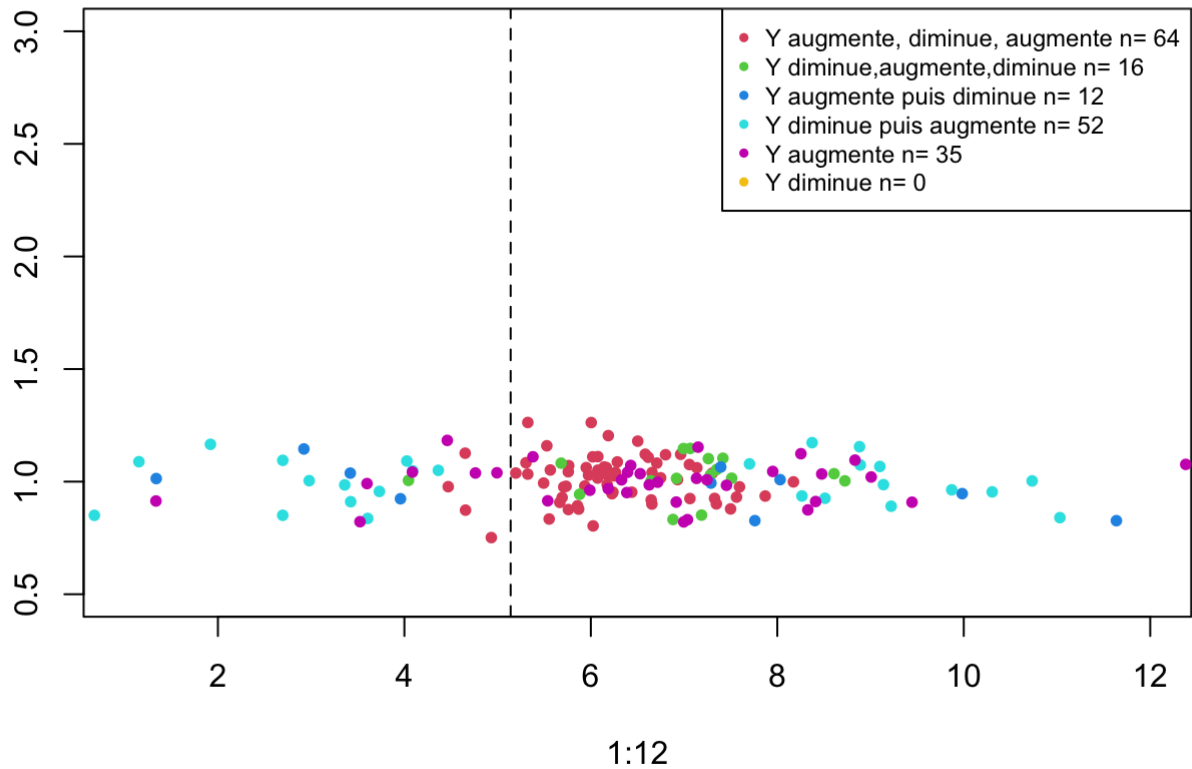
- Pour  $Y$  polynôme de degré 3, il s'agit du point (unique)  $t_0$  tel que  $Y''(t_0) = 0$ .
- Lorsque  $t_0$  est un point d'inflexion du polynôme de degré 3 la tangente en  $t_0$  traverse la courbe.



- Lorsque le coefficient de  $t^3$  est positif soit l'augmentation de  $Y$  accélère jusqu'à  $t_0$  puis ralentit (graphe de gauche) ou bien le contraire (graphe de droite).

### ***Les points d'inflexion pour l'affect considéré***

On constate que pour la plupart des participants le point d'inflexion est situé entre la semaine 4 et la semaine 8 (surtout pour les 73 individus identifiés précédemment).



On constate que pour la plupart des participants le point d'inflexion est situé entre la semaine 4 et la semaine 8. La moyenne étant 5.1397187.

```
B<-dim(res_bay[[1]]$beta)[1]
P_API<-rep(NA,n)
P_APA<-rep(NA,n)
P_ANI<-rep(NA,n)
P_ANA<-rep(NA,n)
for(i in 1:n){
  P_API[i]<-inflex_coord(coef_t(apply(res_bay[[1]]$beta[1:B,i,],2,mean)))[1]
  P_APA[i]<-inflex_coord(coef_t(apply(res_bay[[2]]$beta[1:B,i,],2,mean)))[1]
  P_ANI[i]<-inflex_coord(coef_t(apply(res_bay[[3]]$beta[1:B,i,],2,mean)))[1]
  P_ANA[i]<-inflex_coord(coef_t(apply(res_bay[[4]]$beta[1:B,i,],2,mean)))[1]
}

boxplot(cbind(P_API,P_APA,P_ANA,P_ANI),ylim=c(1,12))
abline(h=c(inflex_coord(coef_t(apply(res_bay[[1]]$mu,2,mean)))[1],
  inflex_coord(coef_t(apply(res_bay[[2]]$mu,2,mean)))[1],
  inflex_coord(coef_t(apply(res_bay[[3]]$mu,2,mean)))[1],
  inflex_coord(coef_t(apply(res_bay[[4]]$mu,2,mean)))[1]))
```